

文章编号: 1000-324X(2007)02-0349-05

# 阳极氧化法制备 $\text{TiO}_2$ 纳米管阵列及其光电性能研究

李 贺, 姚素薇, 张卫国, 王宏智, 贲宇恒  
(天津大学 化工学院杉山表面技术研究室, 天津 300072)

**摘要:** 采用阳极氧化法在钛片上制备了  $\text{TiO}_2$  纳米管阵列光电极, 利用扫描电子显微镜 (SEM) 和 X 射线衍射仪 (XRD) 对  $\text{TiO}_2$  纳米管的形貌和结构进行了表征, 详细考察了氧化工艺参数对纳米管阵列形貌的影响, 并通过稳态光电响应技术对  $\text{TiO}_2$  纳米管电极的光电化学性能进行了研究。结果表明, 在 1wt% HF 电解液中, 控制氧化电压为 20V, 反应 30min 后, 在 Ti 表面获得了垂直导向的  $\text{TiO}_2$  纳米管阵列, 孔径约为 90nm, 管壁厚度约为 10nm。经 600°C 退火处理后,  $\text{TiO}_2$  纳米管阵列为锐钛矿型与金红石型的混晶结构, 此时电极的光电性能最佳, 与  $\text{TiO}_2$  纳米多孔膜电极相比, 光电性能大幅提高。

**关键词:** 阳极氧化;  $\text{TiO}_2$  纳米管; 阵列; 光电化学

**中图分类号:** O646    **文献标识码:** A

## $\text{TiO}_2$ Nanotube Arrays Electrode Prepared by Anodic Oxidation and Its Photoelectrochemical Properties

LI He, YAO Su-Wei, ZHANG Wei-Guo, WANG Hong-Zhi, BEN Yu-Heng

(SUGIYAMA Laboratory of Surface Technology, School of Chemical Engineering and Technology, Tianjin University, Tianjin 300072, China)

**Abstract:**  $\text{TiO}_2$  nanotube arrays photoelectrodes were fabricated by anodic oxidation on a pure titanium sheet. The morphology and structure of the nanotube arrays were characterized by SEM and XRD. Oxidation parameters for preparation were investigated. The photoelectrochemical properties of the  $\text{TiO}_2$  nanotube arrays electrodes were evaluated by steady-state photocurrent response. The results show that the vertical oriented  $\text{TiO}_2$  nanotube arrays can be obtained at 20V for 30min in 1wt% HF solution. And the aperture size of nanotubes is about 90nm and the thickness of tube wall is about 10nm. The structure of nanotube arrays is a mixture of anatase and rutile through annealed at 600°C. The results of photoelectric testing show that photoelectrochemical properties of  $\text{TiO}_2$  nanotube arrays electrode annealed at 600°C are optimum. Compared with  $\text{TiO}_2$  nanoporous films, the properties of the  $\text{TiO}_2$  nanotube arrays are enhanced remarkably.

**Key words** anodic oxidation;  $\text{TiO}_2$  nanotubes; array; photoelectrochemistry

## 1 引言

自 1991 年 Grätzel 等<sup>[1]</sup> 首次采用染料敏化  $\text{TiO}_2$  多孔膜用于液结太阳能电池电极材料以来, 关于  $\text{TiO}_2$  多孔膜电极的研究受到世界各国不同领域的广泛关注。在这些研究中作为光阳极的  $\text{TiO}_2$  多孔

膜多采用溶胶 - 凝胶法, 其比表面积和光催化活性都较低, 需要进行改性。改性方法包括金属离子掺杂<sup>[2]</sup>、贵金属沉积<sup>[3]</sup>、半导体复合<sup>[4,5]</sup> 和有机染料敏化<sup>[6]</sup> 等, 但光催化性能改善并不十分显著。

由于  $\text{TiO}_2$  纳米管较  $\text{TiO}_2$  多孔膜具有更大的比表面积和更强的吸附能力, 引起各国研究者的关

收稿日期: 2006-04-19, 收到修改稿日期: 2006-07-03

基金项目: 国家自然科学基金 (50271046); 国家教育部博士点基金 (20030056034)

作者简介: 李 贺 (1978-), 男, 博士研究生。E-mail: lihe9701@126.com. 通讯联系人: 姚素薇。E-mail: yaosuwei@263.net

注。 $\text{TiO}_2$  纳米管的制备方法有 sol-gel 模板法<sup>[7]</sup>、水热合成法<sup>[8]</sup>、电沉积法<sup>[9]</sup>和化学沉积法<sup>[10]</sup>等，但这些方法需要模板或化学处理，工艺过程复杂，而且获得的  $\text{TiO}_2$  纳米管数量少，没有支撑基底，不能直接用于光电催化反应的工作电极。Pu 等人<sup>[11]</sup>采用阳极氧化法在铝基体上成功制备氧化铝纳米管以来，Grimes 等人<sup>[12,13]</sup>证明了此法可使  $\text{TiO}_2$  纳米管在 Ti 基体上可有效生长，然而关于 Ti 基表面制备  $\text{TiO}_2$  纳米管和其用于光电化学性能的研究还很少见报道。本工作采用阳极氧化法在钛箔上制备一层垂直导向、排列规则的  $\text{TiO}_2$  纳米管阵列，利用扫描电子显微镜 (SEM) 和 X 射线衍射仪 (XRD) 对纳米管阵列的形貌和结构进行表征，详细考察了阳极氧化电压、电解液浓度和反应时间等工艺参数对其形貌的影响，并通过光电流响应谱分析了该  $\text{TiO}_2$  纳米管阵列电极的光电化学特性。

## 2 实验方法

### 2.1 $\text{TiO}_2$ 纳米管阵列的制备

实验采用的钛箔(厚度为 0.1mm)纯度为 99.5%，裁剪成  $6\text{cm} \times 1\text{cm}$ ，依次进行机械抛光、丙酮超声化学除油 30min、化学抛光 10min，抛光液组成为 HF:  $\text{HNO}_3$ :  $\text{H}_2\text{O}=1:4:5$ (体积比)，然后用去离子水冲洗待用。室温下，用铂网作对电极，在 HF 电解液中控制不同的氧化工艺参数进行阳极氧化实验，氧化过程采用磁力搅拌，反应完毕后，将样品置于去离子水中浸泡冲洗。干燥后放入马弗炉中进行退火处理，升温速度  $10^\circ\text{C}/\text{min}$ ，恒温 2h 后，冷却至室温即得到 Ti 基  $\text{TiO}_2$  纳米管阵列光电极。

### 2.2 结构分析与形貌表征

$\text{TiO}_2$  纳米管阵列的晶型和结构采用 PANALYTICAL 公司的 X' Pert Pro 型 X 射线衍射仪 (XRD) 表征，Co 针  $\text{K}\alpha$  辐射，管电压 40kV，管电流 40mA，扫描范围  $20^\circ \sim 80^\circ$ ，采用 Scherrer 公式计算  $\text{TiO}_2$  的平均晶粒尺寸： $D = 0.89\lambda/\beta\cos\theta$ ，式中  $D$  为样品的平均晶粒尺寸 (nm)， $\lambda$  为 X 射线波长 (0.17890nm)， $\beta$  为半高宽度 (rad)， $\theta$  为衍射角 ( $^\circ$ )， $\text{TiO}_2$  结构中金红石型所占比例利用公式计算： $X_R = (1 + 0.8I_A/I_R)^{-1}$ ，式中  $X_R$  为金红石型结构所占比例， $I_A$  为锐钛矿型  $\text{TiO}_2$  的 [101] 衍射峰的强度， $I_R$  为金红石型  $\text{TiO}_2$  的 [110] 衍射峰的强度；表面形貌通过 TESCAN 公司的 VEGA TS-5130SB 型扫描电子显微镜 (SEM) 观察。

### 2.3 光电化学性能测试

光电性能测试在带石英窗口的经典三电极体系

中进行， $\text{TiO}_2/\text{Ti}$  阵列电极作为工作电极(面积为  $1\text{cm}^2$ )，辅助电极为大面积 Pt 网，饱和甘汞电极 (SCE) 作为参比电极，文中所述电位均相对于此参比电极。 $0.5\text{mol}\cdot\text{L}^{-1} \text{Na}_2\text{SO}_4$  为支持电解质，以上溶液均用分析纯化学试剂和去离子水配制。采用上海辰华公司的 CHI660B 型电化学工作站测试光电流响应曲线，外照光源为 8W 紫外灯 (365nm)，光源与电极的距离保持 5cm 不变。

## 3 结果和讨论

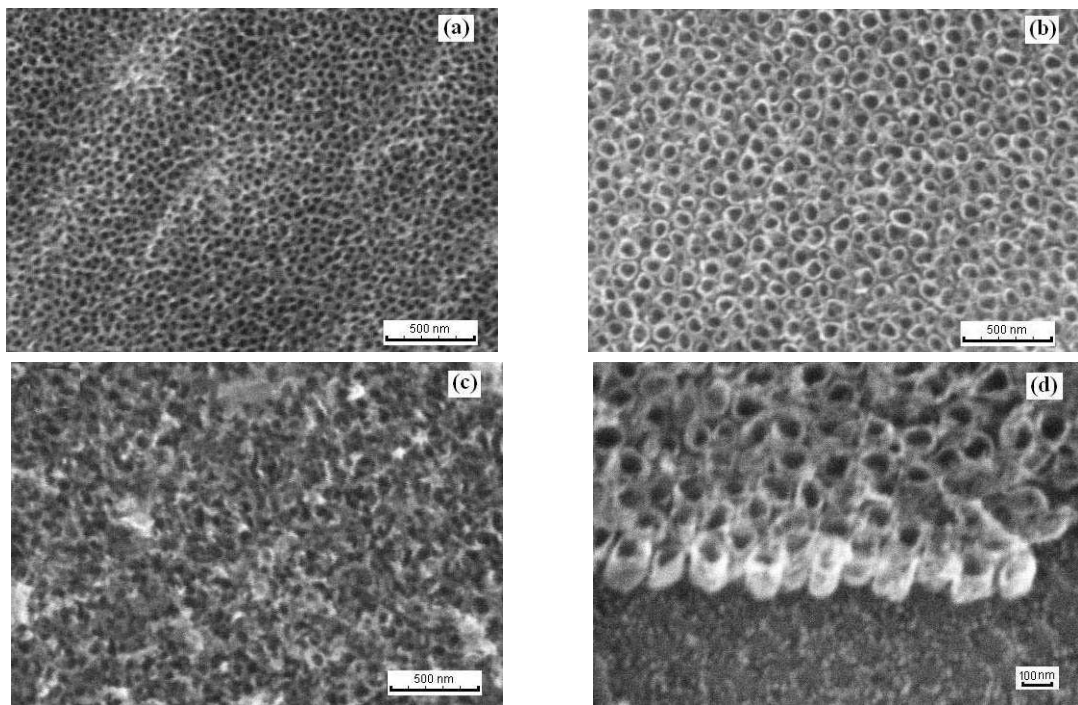
### 3.1 不同氧化工艺对电极形貌的影响

为了比较氧化条件对  $\text{TiO}_2$  纳米管阵列形貌的影响，我们分别在不同的氧化电压、电解液浓度和反应时间下制备  $\text{TiO}_2$  纳米管阵列进行考察。

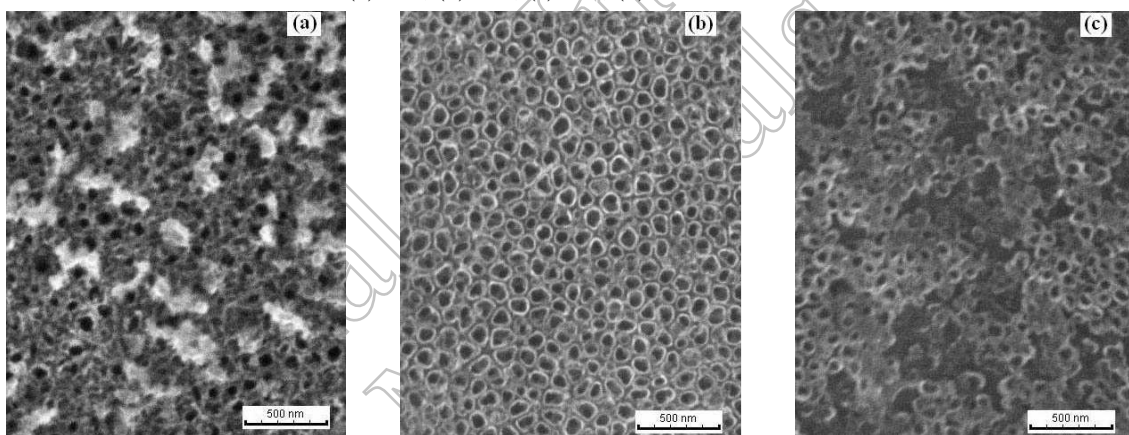
图 1 为钛片在  $0.5\text{wt}\%$  HF 电解液中，不同氧化电压下，反应时间 30min 形成的  $\text{TiO}_2$  膜的扫描电镜 (SEM) 照片。从图中可以看出，在 10V 氧化电压下形成的  $\text{TiO}_2$  膜为不规则的多孔结构，孔径为  $30\sim40\text{nm}$ 。随着氧化电压的升高，孔径增大，在氧化电压为 20V 时， $\text{TiO}_2$  多孔膜表面的孔与孔之间出现间隙，变得不再连续，形成彼此独立的管状阵列结构(图 1(d))，管的内径约为  $80\text{nm}$ 。氧化电压继续升高到 30V，管状阵列结构消失，电极表面结构变得杂乱无章。

图 2 为钛片在氧化电压 20V 下不同浓度 HF 电解液中反应 30min 形成的  $\text{TiO}_2$  膜的 SEM 照片。从图中可以看出，HF 浓度为  $0.2\text{wt}\%$  时形成的  $\text{TiO}_2$  膜为不规则海绵状结构，膜表面还有许多没有溶解的  $\text{TiO}_2$ ；随着 HF 浓度的加大，膜表面  $\text{TiO}_2$  溶解，孔道形成，出现管状结构(见图 1(b))；当 HF 浓度增大到  $1\text{wt}\%$  时，管状结构更加明显，管的内径增大到约  $90\text{nm}$ ，管壁变薄约为  $10\text{nm}$ ，而且阵列上方絮状残留  $\text{TiO}_2$ (见图 2(b))也已基本去除。当 HF 浓度继续增大至  $2\text{wt}\%$  时， $\text{TiO}_2$  纳米管阵列大部分发生腐蚀溶解，表面变为不连续的孔状结构(见图 2(c))。

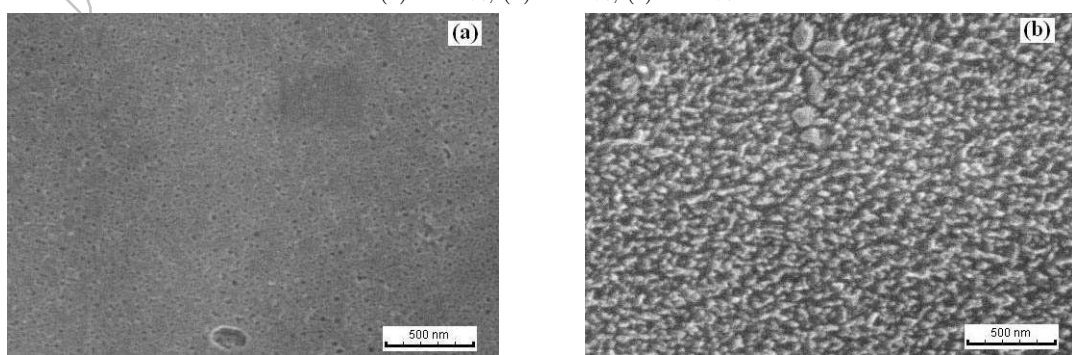
钛片在  $0.5\text{wt}\%$  HF 电解液中，20V 氧化电压下，不同反应时间形成的  $\text{TiO}_2$  膜形貌，如图 3 所示。从图中可以看出，钛片在氧化初期，在表面形成很多微孔，孔径约为  $20\text{nm}$ 。随着反应时间的增加，孔径增大，孔的间隙也开始溶解，进而形成垂直导向生长的管状阵列结构(见图 1(b))。继续延长反应时间发现管状结构消失，表面上出现很多小的突起(见图 3(b))，直径约为  $10\text{nm}$ ，这可能是反应时间过长导致  $\text{TiO}_2$  纳米管壁结构溶解引起的，突起部分为  $\text{TiO}_2$  纳米管壁溶解剩下的部分。

图 1 不同电压下 TiO<sub>2</sub> 纳米管阵列的 SEM 照片Fig. 1 SEM photographs of TiO<sub>2</sub> films anodized in 0.5wt% HF solution with different voltages

(a) 10V; (b) 20V; (c) 30V; (d) 20V cross-section

图 2 不同电解液浓度下 TiO<sub>2</sub> 纳米管阵列的 SEM 照片Fig. 2 SEM photographs of TiO<sub>2</sub> films anodized at 20V with different electrolyte concentration

(a) 0.2wt%; (b) 1.0wt%; (c) 2.0wt%

图 3 不同反应时间制备的 TiO<sub>2</sub> 膜的 SEM 照片Fig. 3 SEM photographs of TiO<sub>2</sub> films anodized at 20V in 0.5wt% HF solution with different reaction time

(a) 10min; (b) 50min

表 1  $\text{TiO}_2$  纳米管阵列的相组成和平均晶粒尺寸  
Table 1 Phase composition and average grain size of the  $\text{TiO}_2$  nanotube arrays

Sample	Calcination temperature/°C	Crystallite size of anatase/nm	Crystallite size of rutile/nm	Rutile by XRD/%
a	As-fabricated	—	—	0
b	400	17.45	—	0
c	500	17.83	18.04	14.85
d	600	18.48	19.01	47.70
e	700	—	23.42	100

在氧化初期, 本文还观察到, 随着反应的进行, 钛片表面氧化膜的颜色会不断变化: 深黄→紫→深蓝→浅蓝→紫→深蓝→浅蓝→银灰, 大约持续 4min. 这主要是由于氧化反应开始后, 表面氧化膜的厚度不断增厚, 导致光线的干涉不同所造成的.

综上所述, 氧化电压、电解液浓度和反应时间都是  $\text{TiO}_2$  纳米管阵列形成的重要影响因素, 最佳阳极氧化电压为 20V, 电解液浓度为 1.0wt%, 反应时间应控制在 30min 左右, 在此氧化条件下可获得排列规则、垂直导向的  $\text{TiO}_2$  纳米管阵列(见图 1(d)).

### 3.2 XRD 结构分析

图 4 为  $\text{TiO}_2$  纳米管阵列原始态和不同温度退火处理的 XRD 谱图. 由图 4 可知, 未经退火处理的样品出现的衍射峰对应于 Ti 基体的特征峰, 说明原始态的  $\text{TiO}_2$  纳米管为无定型结构, 由于纳米管阵列很薄, 所以谱图中未出现典型的无定型散射特征峰; 经 400°C 退火处理后, 样品出现锐钛矿型的特征衍射峰, 说明  $\text{TiO}_2$  纳米管经 400°C 处理后, 开始转变为锐钛矿型结构, 晶粒尺寸约为 17.45nm;

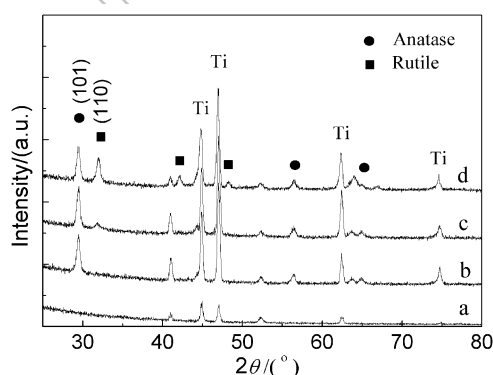


图 4  $\text{TiO}_2$  纳米管阵列的 XRD 谱图

Fig. 4 XRD patterns of  $\text{TiO}_2$  nanotubes arrays annealed at different temperatures  
(a) As-fabricated; (b) 400°C; (c) 500°C; (d) 600°C

经 500°C 退火后, 锐钛矿型结构开始转变为金红石型结构, 其所占比例较少, 约为 14.85%; 而经 600°C 退火后, 金红石型  $\text{TiO}_2$  的特征衍射峰越加明锐, 两相晶粒尺寸进一步变大, 说明  $\text{TiO}_2$  纳米管结晶更加完整, 金红石型含量提高, 达到 47.7%; 退火温度继续升高至 700°C, 锐钛矿衍射峰消失, 表明锐钛矿型结构已完全转变为金红石型结构. 综上所述, 经 600°C 退火处理的  $\text{TiO}_2$  纳米管阵列为锐

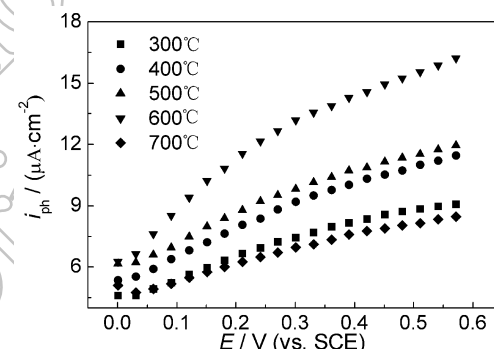


图 5 不同温度退火处理的  $\text{TiO}_2$  纳米管阵列电极的光电流响应曲线

Fig. 5 Photocurrent against potential for  $\text{TiO}_2$  nanotube arrays electrodes annealed at different temperatures

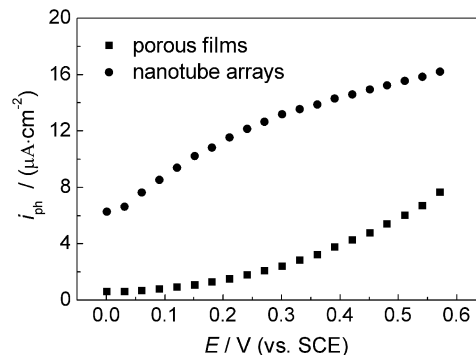


图 6  $\text{TiO}_2$  纳米管电极与纳米多孔膜电极的光电流响应对比图

Fig. 6 Photocurrent against potential of  $\text{TiO}_2$  nanotube arrays electrode and nano-porous films electrode

钛矿型与金红石型的混晶结构, 详细的相组成和平均晶粒尺寸结果列于表 1.

### 3.3 光电化学性能测试

为了研究 TiO<sub>2</sub> 纳米管阵列电极的光电化学性能, 本工作在 0.0~0.6V 范围内, 测定了不同温度退火处理的 TiO<sub>2</sub> 纳米管电极在紫外灯下稳态光电流随外加电压变化的响应曲线(见图 5). 从图中可以看出, 各电极的光电流均随着外加电压的增大而增大, 并且光电流响应随着退火温度的升高而逐渐增大, 当升高到 700°C 时, 光电流开始急剧减小, 即经 600°C 退火处理的 TiO<sub>2</sub> 纳米管电极的光电流响应最大. 这说明具有混晶结构的 TiO<sub>2</sub> 纳米管电极的光电转换性能比单纯锐钛矿型电极要好, 显现出了良好的“混晶效应”. TiO<sub>2</sub> 纳米管电极中金红石型结构含量的增加有利于电极光电性能的提高. Bickley R I 等<sup>[14]</sup> 认为混晶结构的确能有效促进电子-空穴对的分离, 提高光电化学活性. 一方面金红石型 TiO<sub>2</sub> 的禁带宽度 ( $E_g=3.0\text{eV}$ ) 小于锐钛矿型 TiO<sub>2</sub> ( $E_g=3.2\text{eV}$ ), 对光的利用率提高, 另一方面这种混晶结构可能形成了类似复合半导体的结构, 使光生载流子在不同能级半导体之间传输, 延长其寿命, 而提高量子效率, 这与文献[15]报道的结果是类似的.

为了进行比较, 本工作采用溶胶-凝胶法制备 TiO<sub>2</sub> 纳米多孔膜电极<sup>[16]</sup>. 实验以钛酸丁酯为原料, 按钛酸丁酯:乙醇:水:乙酰丙酮 = 1:100:3:24(摩尔比)比例, 并加入聚乙二醇(分子量 1000) 6g·L<sup>-1</sup>, 不断搅拌得到 TiO<sub>2</sub> 溶胶, 再经提拉(速度 5cm·min<sup>-1</sup>), 600°C 焙烧 2h 制得镍基 TiO<sub>2</sub> 纳米多孔膜电极. 图 6 为 TiO<sub>2</sub> 纳米管阵列电极与 TiO<sub>2</sub> 纳米多孔膜电极的光电流响应对比图. 从图中可以看出, 在 0.0~0.6V 整个测量范围内, TiO<sub>2</sub> 纳米管阵列电极的光电流均大于纳米多孔膜电极, 在 0.3V 时,  $\Delta i_{ph}$  达到最大, 约为  $10.67\mu\text{A}\cdot\text{cm}^{-2}$ . TiO<sub>2</sub> 纳米管阵列电极比无序多孔膜电极显示出更好的光电转换性能. 主要原因有: (1)TiO<sub>2</sub> 纳米管阵列的特殊孔道结构, 使其具有更大的比表面积, 增大了半导体电极与电解液的接触, 有利于降低传质阻力, 减小界面电阻; (2)由于纳米管阵列的有序结构, 且垂直于电极表面, 这可使光生载流子的传输路径减少, 降低复合几率.

### 4 结论

采用阳极氧化法在钛片上制备了垂直导向的 TiO<sub>2</sub> 纳米管阵列, 管内径约为 90nm, 管壁约为 10nm, 阵列的厚度约为 500nm. 最佳反应条件为氧化电压 20V, HF 电解液浓度 1.0wt%, 反应时间 30min. 经 400°C 退火处理后, TiO<sub>2</sub> 纳米管阵列为锐钛矿型结构, 随着退火温度的升高, TiO<sub>2</sub> 的平均晶粒尺寸增大, 锐钛矿型结构逐渐转变为金红石型结构, 经 600°C 退火处理后, TiO<sub>2</sub> 纳米管阵列变为锐钛矿型与金红石型的混晶结构, 其中金红石型的含量提高至 47.7%, 结晶更加完整. 光电性能测试结果表明, 经 600°C 退火处理的 TiO<sub>2</sub> 纳米管阵列电极的光电化学性能最佳, 与 TiO<sub>2</sub> 纳米多孔膜电极相比, 光电性能大幅提高.

### 参考文献

- [1] O'Regan B, Gratzel M. *Nature*, 1991, **353**: 737–739.
- [2] Dvoranova D, Brezova V, Mazur M, et al. *Appl. Catal. B*, 2002, **37** (2): 91–105.
- [3] Sasaki T, Koshizaki N, Yon J W, et al. *J. Photo. Photobio. A*, 2001, **145** (1/2): 11–16.
- [4] 何文, 张旭东, 李鹏, 等 (HE Wen, et al). 无机材料学报 (Journal of Inorganic Materials), 2005, **20** (2): 508–512.
- [5] Yin S, Maeda D, Ishitsuka M, et al. *Solid State Ionics*, 2002, **151** (1/4): 377–383.
- [6] Dhanalakshmi K B, Latha S, Anandan S, et al. *Int. J. Hydrgen Energ.*, 2001, **26** (7): 669–674.
- [7] Michailowski A, Almawlawi D, Cheng G S, et al. *Chem. Phys. Lett.*, 2001, **349** (1/2): 1–5.
- [8] 马新起, 郭新勇, 金振声, 等 (MA Xin-Qi, et al). 无机材料学报 (Journal of Inorganic Materials), 2003, **18** (5): 1131–1134.
- [9] Hoyer P. *Advanced Materials*, 1996, **8** (10): 857–859.
- [10] Zhu Y, Li H, Koltypin Y, et al. *Chem. Commun.*, 2001, **24**: 261–267.
- [11] Pu L, Bao X M, Zou J P, et al. *Angew. Chem., Int. Ed.* 2001, **40**: 1490–1493.
- [12] Gong D, Grimes C A, Varghese O K, et al. *J. Mater. Res.*, 2001, **16**: 3331–3334.
- [13] Varghese O K, Gong D, Paulose M, et al. *J. Mater. Res.*, 2003, **18**: 156–165.
- [14] Bickley R I, Gonzalez-Carreno T, Lees J. *J. Solid State Chem.*, 1991, **92**: 178–190.
- [15] Bacsa R R, KiWi J. *J. Appl. Catal. B: Environ.*, 1998, **16**: 19–29.
- [16] 赵转清, 姚素薇, 张卫国, 等. 物理化学学报, 2002, **18** (5): 473–476.